

# شیمی کانی‌ها و شرایط ترمودینامیکی تشکیل مرمرهای ناخالص مجموعه دگرگونی نی‌باغی واقع در شمال‌شرق میانه، ایران

جواد ایزدیار<sup>(۱)</sup>، معصومه سهرابی<sup>(۲)</sup>، علی اصغر سپاهی<sup>(۳)</sup>، آذر قارلقی<sup>(۳)</sup> و لیلا محمدی<sup>(۳)</sup>

۱. استادیار، گروه زمین‌شناسی، دانشکده علوم، دانشگاه زنجان
۲. کارشناس ارشد، گروه زمین‌شناسی، دانشکده علوم، دانشگاه زنجان
۳. استاد، گروه زمین‌شناسی، دانشکده علوم، دانشگاه بوعالی سینا همدان

تاریخ دریافت: ۹۸/۰۵/۱۶

تاریخ پذیرش: ۹۸/۰۹/۱۱

## چکیده

مجموعه‌ای از سنگ‌های دگرگونی شامل اسلیت، فیلیت، میکاشیست و مرمر با شیستوتزیتۀ غالب شمال‌شرقی-جنوب غربی در منطقه نی‌باغی واقع در شمال شرقی میانه رخنمون دارند. مرمرهای ناخالص در بخش مرکزی این مجموعه به صورت نازک لایه، ضخیم لایه و توده‌ای دیده می‌شوند. شواهد فابریکی و کانی‌بای نشانگر دو مرحله دگرگونی در مرمرهای ناخالص هستند. مرحله اولیه با کانی‌های مانند پیروکسین (دیوپسید)، اپیدوت (کلینوزوئزیت)، آمفیبول ۱ (ادنیت-پارگاسیت) و پلاژیوکلاز ۲ و مرحله اصلی با کانی‌های مانند کلریت (کلینوکلر)، آمفیبول ۲ (ترمولیت)، فلوگوبیت و پلاژیوکلاز ۲ مشخص می‌شوند. نتایج محاسبات P-T-X<sub>CO<sub>2</sub></sub> برای مراحل اولیه و اصلی دگرگونی با محاسبه فوگاسیتۀ و فعالیت غیرآرمانی و غیرمتقارن فازهای سیال و جامد توسط نرم‌افزار ترموكالک نشان داد که مرحله اولیه در شرایط (P= 9.5kbar, T= 660°C, X<sub>CO<sub>2</sub></sub>= 0.35) و مرحله اصلی در شرایط (P= 4.2kbar, T= 510°C, X<sub>CO<sub>2</sub></sub>= 0.4) پایدار می‌باشد. مسیر فشار-دمای حاصل شده، نشان می‌دهد که مرمرهای ناخالص نی‌باغی در فشار متوسط تشکیل شده‌اند و توسط یک دگرگونی فشار پالین دوباره تحت تاثیر قرار گرفته‌اند. این الگو نشانگر تکامل دگرگونی مرمرهای نی‌باغی در یک محیط تکتونیکی برخورده است.

واژه‌های کلیدی: نی‌باغی، میانه، مرمر، ترموكالک، شیمی کانی.

## مقدمه

تحول دگرگونی مورد استفاده قرار گرفته‌اند. در سرزمین‌های دگرگونی ناحیه‌ای گزارش شده‌اند (Baker and Mattheous, 1994; Seaton et al., 2009; Ye and Hirajima, 1996; Franz and Spear, 1983; Ferry, 1983) اما به دلیل پیچیدگی‌های مربوط به سیالات دگرگونی کمتر در تعیین

\* نویسنده مرتبط: izadyar@znu.ac.ir

## روش مطالعه

پژوهش‌های انجام گرفته در این منطقه عمدتاً در مورد شیمی سنگ کل آمفیبولیت‌های سیاه منصور واقع در شمال مجموعه دگرگونی نی باعی و همچنین شیمی سنگ کل متاپلیت‌های گرمی چای می‌باشد (مودن و همکاران، ۱۳۹۲ Moazzzen et al., 2016). با این وجود ویژگی‌های دگرگونی مجموعه نی باعی از قبیل شیمی کانی‌ها و شرایط ترمودینامیکی تشکیل آنها مورد مطالعه دقیق قرار نگرفته بود. لذا مطالعه صحرایی در مقیاس ۱:۲۵۰۰۰ انجام گرفت تا واحدهای سنگ‌شناسی تشکیل دهنده و ارتباطات صحرایی آنها و همچنین انواع ساختارهای دگرگشکلی مشخص شود. با توجه به نتایج مطالعات صحرایی، مطالعات پتروگرافی و پتروفاربریکی بر روی نمونه‌های انتخاب شده صورت گرفت تا روابط فابریکی و کانیایی مرمرها در طی تحولات دگرگشکلی و دگرگونی آشکار شود. سپس دو نمونه از مرمر که دارای بیشترین مجموعه کانیایی پایدار در هریک از مراحل تشخیص داده شده دگرگونی بودند، جهت انجام تجزیه میکروپریوب (EPMA) به گروه تحقیقاتی استخراج معدن کوالالامپور کشور مالزی فرستاده شدند. تجزیه میکروپریوب توسط دستگاه CAMECA SX 100 تحت شرایط شتاب ولتاژ ۱۰KV و شدت جریان ۱۰nA انجام گرفت. مقدار کاتیون‌ها AX (Powell and Holland, 1988) با استفاده از نرم‌افزار AX<sup>Fe<sup>3+</sup></sup> تعیین شد. برای محاسبه فعالیت غیر آرمانی و غیرمتقارن کانی‌ها، توزیع کاتیون‌ها در موقعیت‌های بلورشناسی متفاوت با توجه به ساختار هر کانی محاسبات مجددی با توجه به منابع مختلف صورت گرفت و در هر مرمرهای از نرم‌افزار ترموموکالک (Powell et al., 1998; ۱۹۹۸) در دو حالت استفاده شد. در حالت نخست داده‌های ورودی به نرم‌افزار به توجه به فعالیت‌های محاسبه شده در نرم‌افزار AX برای فازهای سیال و جامد و پیش‌فرضهای محاسباتی نرم‌افزار ترموموکالک انجام گرفت و در حالت دوم فوگاسیته سیال دگرگونی و فعالیت غیرآرمانی و غیرمتقارن فازهای جامد با توجه منابع

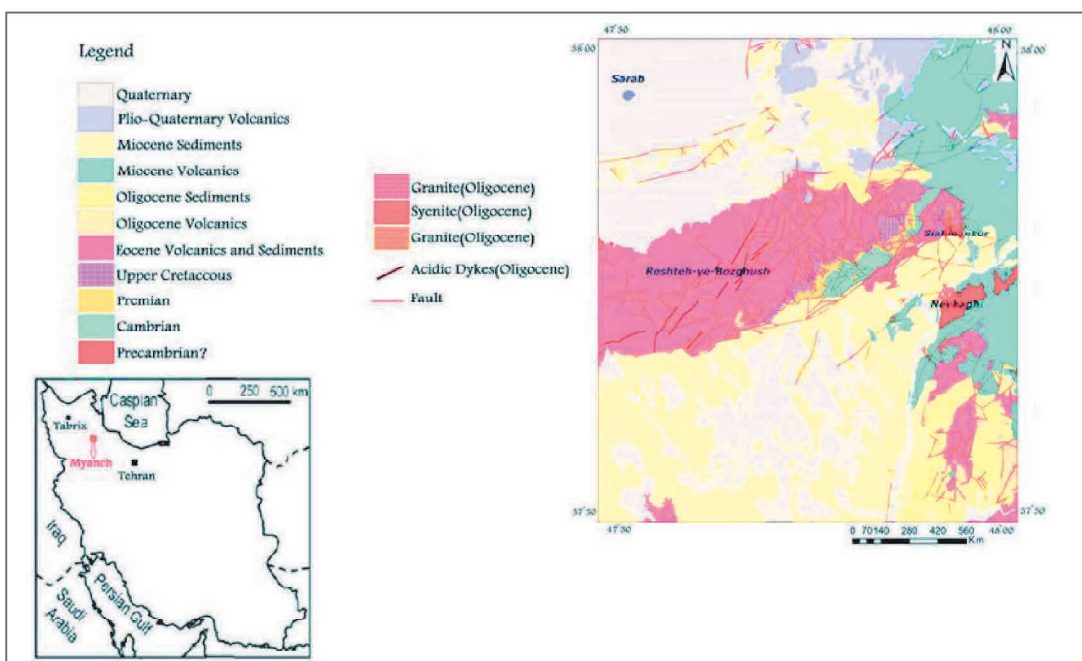
فشار-دما از رخساره شیست سبز تا رخسارهای آمفیبولیت و گرانولیت مشاهده می‌شود. در مرمرهای بanaxالصی‌های رسی در سنگ اولیه، کانی‌های دیگری از قبیل کلریت، بیوتیت، گارنت، اپیدوت و فلدرسپار (هر نوع) در شرایط متفاوتی از فشار-دما و ترکیب سیال دیده می‌شوند (Trommsdorf, 1972; Baker and Mattheous, 1994) که در نواحی دگرگونی فشار بالا تشکیل شده‌اند، مجموعه کانیایی کلسیت + دولومیت + زوئیت + ترمولیت + کوارتز؛ دولومیت + زوئیت + کیانیت + کوارتز + فنیت؛ کلسیت + دولومیت + زوئیت + کوارتز + فنیت یافت می‌شوند. مرمرهای ناخالص دیگر فازهای سیلیکاته متنوعی نظیر امفاسیت، اپیدوت، پاراگونیت و Al-Tیتانیت گزارش شده‌اند (Seaton et al., 2009; Ye and Hirajima, 1996;) (Franz and Spear, 1983). در واقع شرایط فشار-دما مطلوب برای انجام واکنش در سنگ‌های کربناته به ترکیب فاز سیال بستگی دارد و در عین حال این واکنش‌ها خود با اجزا سیال سروکار دارند و لذا ترکیب سیال را تغییر می‌دهند (Skippen and Trommsdorf, 1986). واکنش‌های نظیر از دست دادن  $\text{CO}_2$  و  $\text{H}_2\text{O}$ ، جذب  $\text{CO}_2$  و  $\text{H}_2\text{O}$  و ترکیبی از این واکنش‌ها می‌توانند بهشدت بر روی مجموعه کانیایی همزیست و ترکیب سیال همراه تاثیر بگذارد. این در حالی است که  $\text{CO}_2$  و  $\text{H}_2\text{O}$  به صورت یک فاز سیال واحد باهم مخلوط شوند و همچنین سیال بهمیز از  $\text{CO}_2$  و  $\text{H}_2\text{O}$  حاوی عناصر دیگری نباشد. به عنوان مثال وجود نمک‌های محلول در سیال امکان اختلاط کامل  $\text{CO}_2$  و  $\text{H}_2\text{O}$  را کاهش خواهد داد و طبیعی است که در این حالت یک فاز سیال اضافی در سنگ‌های کربناته وجود خواهد داشت و باعث کاهش درجه آزادی به اندازه یک واحد خواهد. با وجودی که در مجموعه دگرگونی نی باعی واقع در شمال شرقی میانه، مرمرها به مقدار زیادی رخنمون دارند اما ویژگی‌های کانیایی و شرایط ترمودینامیکی تشکیل آن‌ها در جزئیات مورد توجه قرار نگرفته است. لذا در این مقاله فابریک، مجموعه کانیایی همزیست و شیمی کانی مرمرهای نی باعی بیان شده و پایداری آن‌ها مورد بررسی قرار می‌گیرد.

فعالیت‌های ماقمایی پس از ائوسن، توده‌های نفوذی از جنس سینیت و گرانیت و گرانودیوریت عموماً در واحدهای ائوسن نفوذ کرده‌اند. سنگ‌های آتشفشاری میوسن شامل توف‌های آلت‌ه شده، گدازه‌های ریولیتی و داسیتی، گدازه‌های پرلیتی و توف‌های پومیس، جریان‌های تراکیتی و تراکی آندزیتی می‌باشد. بازالت‌های الیوین‌دار و توف با سن کواترنر (شکل ۱) آخرین فاز آتشفشاری در منطقه می‌باشد (بهروزی و همکاران، ۱۳۷۱). مطالعات صحرابی برای بررسی دقیق تر مجموعه دگرگونی نی‌باغی نشان می‌دهد که این مجموعه ترکیب سنگ‌شناسی یکنواختی ندارد و در برخی از شمال غرب به سمت جنوب شرق، واحدهای اسلیتی، فیلیتی و میکاشیستی با شیستوتوزیته واضح و غالب شمال شرقی-جنوب غربی و شبیه به سمت شمال غرب رخمنون دارند (سهرابی، ۱۳۹۳). اندازه‌گیری‌های صحرابی نشان می‌دهند که خطواره با روند شمال شرقی-جنوب غربی با میل کم به سمت شمال شرق، خطواره غالب با گسترش زیاد در این واحدها می‌باشد (شکل ۲). مرز اسلیت‌ها و فیلیت‌ها با توده گرانیتی گسله است و در سایر بخش‌ها واضح نیست و در زیررسوبات کواترنر پنهان می‌شود. در بخش مرکزی این مجموعه مرمرهای لایه‌ای و توده‌ای گسترش دارند. برداشت صحرابی نشان می‌دهد که مرمرهای لایه‌ای دارای شیستوتوزیته واضح و گستردۀ شمال شرقی-جنوب غربی با شبیه به سمت شمال غربی در بخش‌های شمالی و شبیه به سمت جنوب شرقی در بخش‌های جنوبی می‌باشد (شکل ۲). در سمت جنوب شرقی، مجدداً واحدهای میکاشیستی با روند شمال شرقی-جنوب غربی با شبیه به سمت جنوب شرقی با ضخامت کمتر از واحد مشابه در سمت شمال غربی مشاهده می‌شود. در بخش جنوب شرقی واحدهای اسلیتی و فیلیتی رخمنون ندارند و میکاشیستها دارای ارتباط گسلی با واحدهای آتشفشاری میوسن می‌باشند. خطواره غالب در این میکاشیستها نیز دارای روند شمال شرقی-جنوب غربی با میل کم به سمت شمال شرق می‌باشد (شکل ۲). اندازه‌گیری‌های ساختاری انجام شده بر روی واحدهای مختلف سنگی نشان می‌دهد که ساختار اصلی منطقه نی‌باغی یک چین تاق شکل نامتقارن با یال جنوب شرقی پوشید و فشرده و یال شمال غربی کم‌شیبتر می‌باشد.

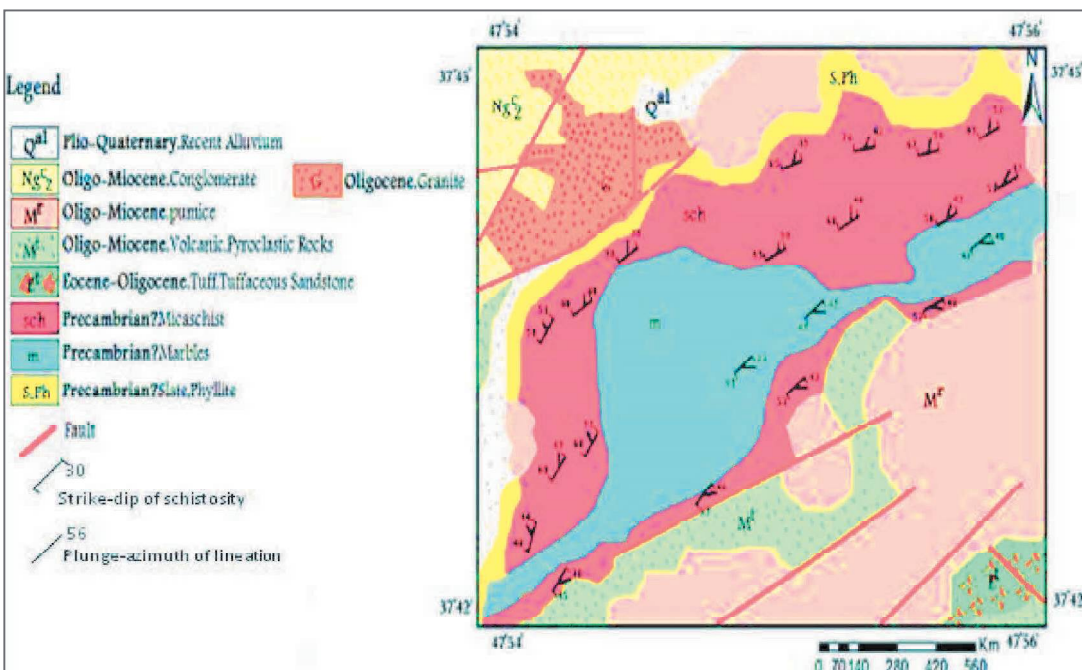
مختلف محاسبه و سپس با توجه به منطقه برنامه‌نویسی در ترمومالک به نرم‌افزار وارد و نتایج با یکدیگر مقایسه شد. نامهای اختصاری کانی‌ها در متن، جدول‌ها و شکل‌ها از (Whitney and Evans, 2010) اقتباس شده است.

## موقعیت زمین‌شناسی

مجموعه دگرگونی نی‌باغی در حدود ۲۵ کیلومتری شمال شرقی میانه در استان آذربایجان شرقی در دامنه جنوبی رشته کوه بزقوش رخمنون دارد. این مجموعه ترکیبی از سنگ‌های دگرگونی مانند میکاشیست و مرمر است که به‌گونه‌ای ناهمساز در زیر واحدهای سنگی کرتاسه و گدازه‌های ریولیتی قرار گرفته‌اند (شکل ۱). در نقشه زمین‌شناسی ۱:۱۰۰۰۰۰ سراب (بهروزی و همکاران، ۱۳۷۱) سن دقیقی برای آن پیشنهاد نشده است، در حالی که در نقشه زمین‌شناسی ۱:۲۵۰۰۰۰ میانه به‌دلیل اینکه اثرات تغییر شکل دگرگونی در رسوبات پالئوزوئیک این منطقه دیده نمی‌شود، دگرگونی آن‌ها را به پرکامبرین نسبت داده‌اند (Amidi, 1967). قدیمی‌ترین سنگ‌های غیر دگرگونی شامل شیل و ماسه‌سنگ‌های سازند باروت و ماسه‌سنگ‌های صورتی سازند لalon است (شکل ۱). ردیف سنگ‌های برمین در جنوب شرقی بیرون زدگی زیادی دارند که با سازند دورود و روته شbahat دارند. ردیف سنگ‌های کرتاسه بالایی به‌طور دگرگشیب، طبقات رسوبی پرmin را می‌پوشاند. بخش بزرگی از رخمنون‌های منطقه را سنگ‌های آتشفشاری و رسوبات ائوسن تشکیل داده است (شکل ۱). به دنبال ماسه‌سنگ، کنگلومرا ائوسن به‌طور هم‌شیب، تناوبی از توف و گدازه‌های آندزیتی و آندزیتی‌بازالتی قرار می‌گیرد. سایر واحدهای ائوسن شامل طبقات توفی و گدازه‌های بازالتی با میان لایه‌هایی از آهک و کنگلومرا می‌باشد که به‌طور جانبی به واحد رسوبی تبدیل شده و توسط رسوبات کنگلومرا و ماسه‌سنگی و گدازه‌های ریولیتی و ریوداسیتی میوسن پوشانده می‌شود. گدازه‌های ریولیتی و ریوداسیتی در سطح گستردۀ رخمنون دارند و بر روی ولکانیک‌های ائوسن قرار گرفته‌اند و خود به نحو دگرگشیب توسط رسوبات تخریبی پوشانده شده‌اند. گاهی بر روی گدازه‌های ریولیتی، گدازه‌های تیره‌رنگ همراه با توف‌های ماسه‌ای در پهنه وسیعی قرار دارند (شکل ۱).



شکل ۱. نقشه زمین شناسی سراب (با اندکی تغییرات از بهروزی و همکاران، ۱۳۷۱)



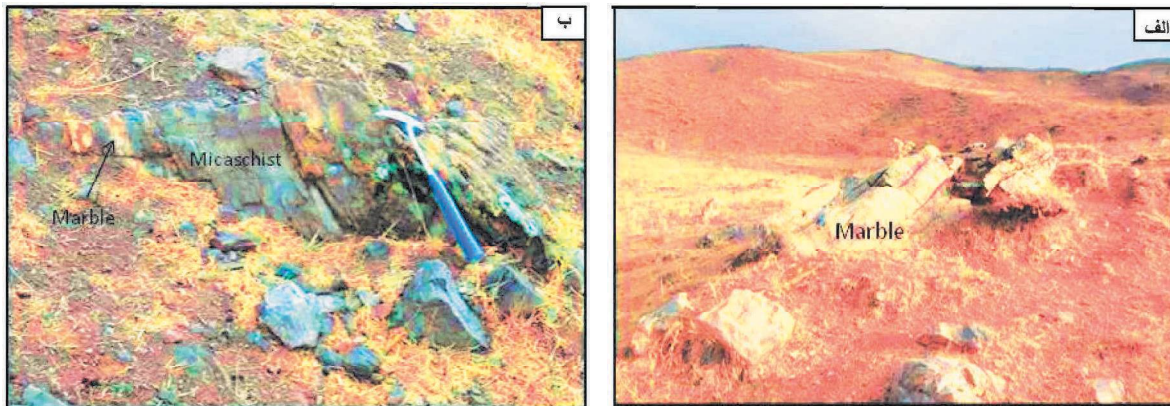
شکل ۲. نقشه سنگ شناسی-ساختاری منطقه نی باگی

## پتروگرافی

(شکل ۳-الف، ب). مرمرهای با توجه به ترکیب کانی شناسی به دو گروه اصلی تقسیم می‌شوند (جدول ۱). گروه اول خاکستری تیره تا روشن دیده می‌شوند. مرمرهای عموماً به سه صورت مرمرهای نازک لایه (۲ تا ۵ سانتی‌متر)، ضخیم لایه (۵۰ تا ۶۰ سانتی‌متر) و توده‌ای مشاهده می‌شوند

کانی پیروکسن و اپیدوت مشاهده می‌شوند (شکل ۴-پ). فلوگوپیت به صورت هم‌رشدی همراه با کلریت و آمفیبول ۲ تشکیل دهنده شیستوزیته می‌باشدند (شکل ۴-ث). بلاستهای پلاژیوکلاز گاهی به صورت پورفیروبلاست دیده می‌شوند که در این حالت در مرکز آن ادخال‌های فراوان آمفیبول و کمتر کلسیت وجود دارد که نشان می‌دهد در مراحل مختلف دگرگونی تشکیل شده است (شکل ۴-ج). بنابراین مرکز پلاژیوکلاز تحت عنوان پلاژیوکلازا ۱ و حاشیه عمده‌ای باریک و فاقد ادخال آن پلاژیوکلازا ۲ در نظر گرفته شده است. بنابراین با استفاده از شواهد و ارتباطات فابریکی و کانیابی دو مرحله دگرگونی قابل تشخیص است: در مرحله اولیه، کانی‌های پیروکسن، اپیدوت، پلاژیوکلازا، آمفیبول ۱ به همراه کلسیت و دولومیت تشکیل شده‌اند. در حالی که در مرحله دوم که مرحله اصلی دگرگونی است، کانی‌های کلریت، آمفیبول ۲، فلوگوپیت، پلاژیوکلازا ۲ به همراه کلسیت و دولومیت تشکیل شده‌اند.

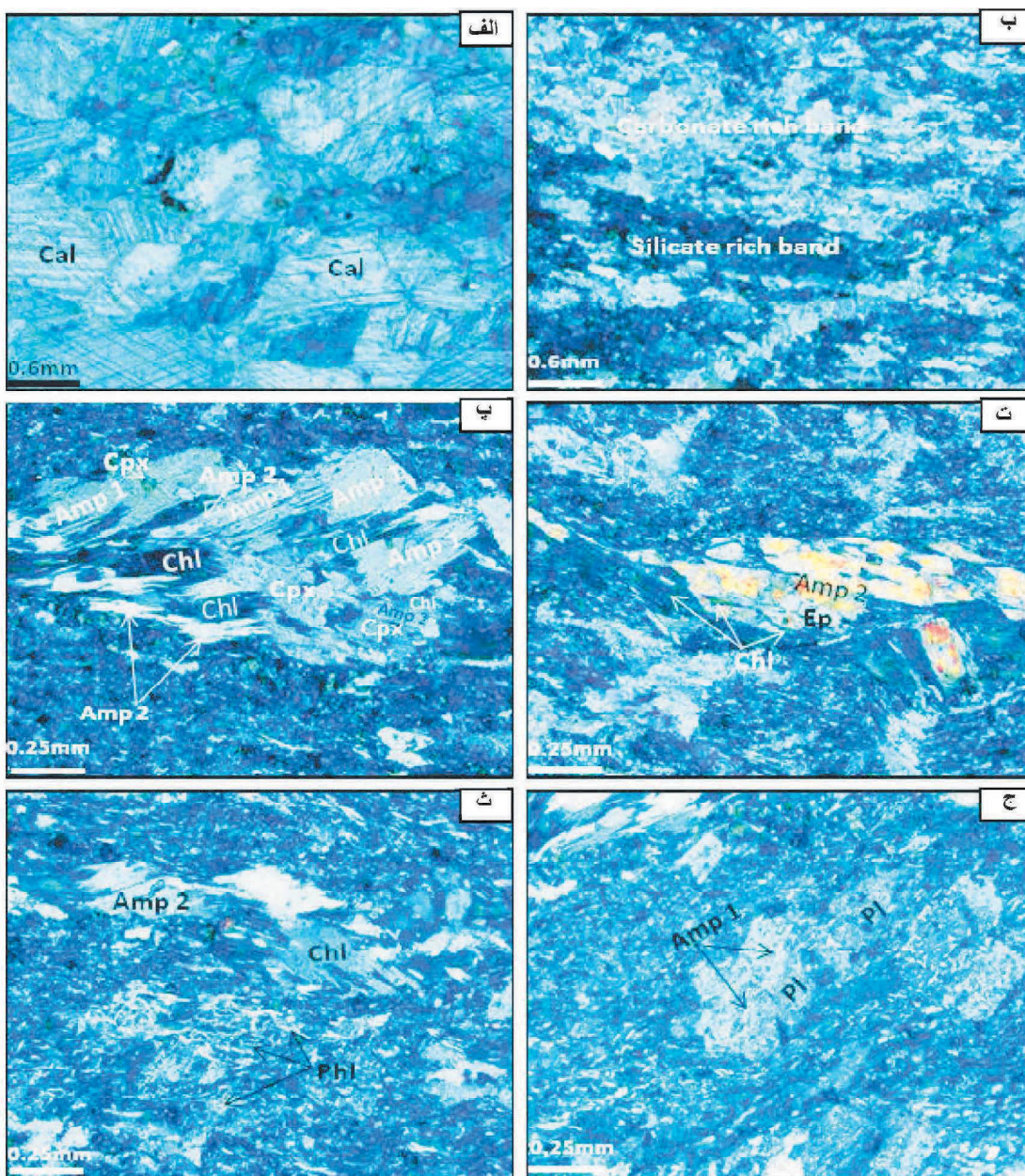
(شکل ۴-الف). گروه دوم دارای فابریک نماتولپیدوبلاستیک بوده و در آن‌ها علاوه بر کلسیت و دولومیت، کانی‌های آمفیبول، پیروکسن، فلوگوپیت، کلریت، اپیدوت و پلاژیوکلاز به عنوان کانی‌های اصلی حضور دارند. در این گروه از مرمرها گاهی باندهای غنی از کلسیت و دولومیت و باندهای غنی از کانی‌های سیلیکاته مشاهده می‌شود (شکل ۴-ب). در بررسی پتروگرافی، پیروکسن و اپیدوت به صورت بلاستهای دیده می‌شوند که دارای تبدیل شدگی به کلریت و آمفیبول هستند (شکل ۴-پ، ت) و یا گاهی توسط کانی‌های مانند کلسیت، دولومیت، فلوگوپیت و کلریت احاطه شده‌اند. در مطالعه پتروگرافی دو نوع آمفیبول قابل تشخیص است. در نوع اول (آمفیبول ۱)، آمفیبول‌ها به طور بخشی توسط کلریت جایگزین شده و یا توسط آمفیبول‌های نوع دوم احاطه شده‌اند. این نوع از آمفیبول‌ها دارای ادخال‌های از پیروکسن در مرکز خود می‌باشند نوع دوم آمفیبول‌ها (آمفیبول ۲) به همراه کانی‌های کلریت و فلوگوپیت تشکیل دهنده شیستوزیته هستند و یا به صورت جانشینی



شکل ۳. تصاویر صحرایی (الف) مرمرهای ضخیم لایه، ب) مرمرهای نازک لایه در تنایی با میکا شیست

جدول ۱. مجموعه کانیابی مرمرهای نی باگی. علامت‌های + و - به ترتیب نشانگر حضور یا نبود کانی می‌باشد. نام‌های اختصاری کانی‌ها از (Whitney and Evans, 2010) اقتباس شده‌اند

Mineral Name	Cpx	Ep	Amp	Pl	Cal	Do	Chl	Phl
NS1	-	-	+	+	+	+	+	+
NS2	-	+	+	-	+	-	+	+
NS3	+	+	+	+	+	+	+	+
NS4	-	-	-	-	+	+	-	+
NS5	+	-	+	-	+	+	+	+
NS6	-	-	+	+	+	+	+	+
NS7	-	+	+	+	+	+	+	+
NS8	+	+	+	-	+	+	+	+



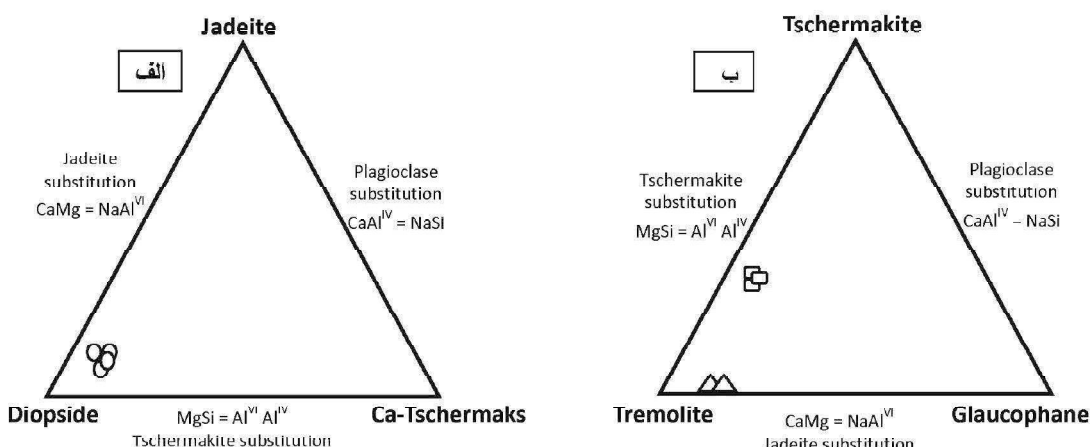
شکل ۴. تصاویر میکروسکوپی (الف) مرمر خالص با ساختار گرانو بلاستیک، (ب) مرمر ناخالص با فابریک نماتو لپیدوبلاستیک با باندهای غنی از کانی‌های کربناته و سیلیکاته، (پ) تبدیل شدگی پیروکسن از حاشیه به آمفیبول ۲ و کلریت. آمفیبول ۱ به طور بخشی توسط کلریت جایگزین و در حاشیه به آمفیبول ۲ تبدیل شده است. پیروکسن در مرکز آمفیبول ۲ مشاهده می‌شود، (ت) تبدیل شدگی آپیدوت به کلریت و آمفیبول ۲، (ث) هم رشدی کلریت، آمفیبول ۲ و پورفیرو بلاستهای پلازیوکلاز با ادخال‌های ریز و فراوان در مرکز و حاشیه باریک فاقد ادخال. نامهای اختصاری کانی‌ها از (Whitney and Evans, 2010) اقتباس شده است

## شیمی کانی‌ها

از عضو نهایی دیوپسید از طریق جانشینی‌های چرماکیتی پیروکسن به صورت دانه‌های خرد شده، مشاهده می‌شود که به طور بخشی از حاشیه توسط کلریت و آمفیبول جایگزین شده که نشان می‌دهد در مرحله اول دگرگونی تشکیل شده است. نتایج تجزیه شیمیابی نشان می‌دهد که ترکیب پیروکسن‌ها نزدیک عضو نهایی دیوپسید است، تغییر ترکیب براساس طبقه‌بندی و نام‌گذاری (Leak et al., 1997) IMA، آمفیبول‌های مورد مطالعه از انواع کلسیک (ترمولیت)

منطقه‌بندی شیمیایی را نشان می‌دهند که در این حالت مرکز آن‌ها دارای ترکیب ادنیتی و پارگاسیتی و حاشیه آن‌ها از نوع ترمولیتی می‌باشد. در این آمفیبول‌ها تغییر عمدۀ شیمیایی از سمت مرکز به طرف حاشیه از طریق جانشینی فنتزیتی (Al<sup>IV</sup>Al<sup>VI</sup>=SiMg) می‌باشد که در طی آن مقدار Al کاهش و مقادیر Mg و Si افزایش می‌یابد (شکل ۵-ب و جدول ۲).

و سدیک-کلسیک (ادنیت-پارگاسیت) هستند. آمفیبول ۱ که به‌طور بخشی به کلریت تبدیل شده و همچنین آمفیبول‌های موجود در مرکز پلاژیوکلازهای، دارای ترکیب ادنیتی و پارگاسیتی هستند. آمفیبول‌های نوع دوم (آمفیبول ۲) که همراه با کلریت و فلوگوپیت تشکیل دهنده شیستوزیته هستند از نوع ترمولیت می‌باشند. آمفیبول‌ها گاهی نوعی از



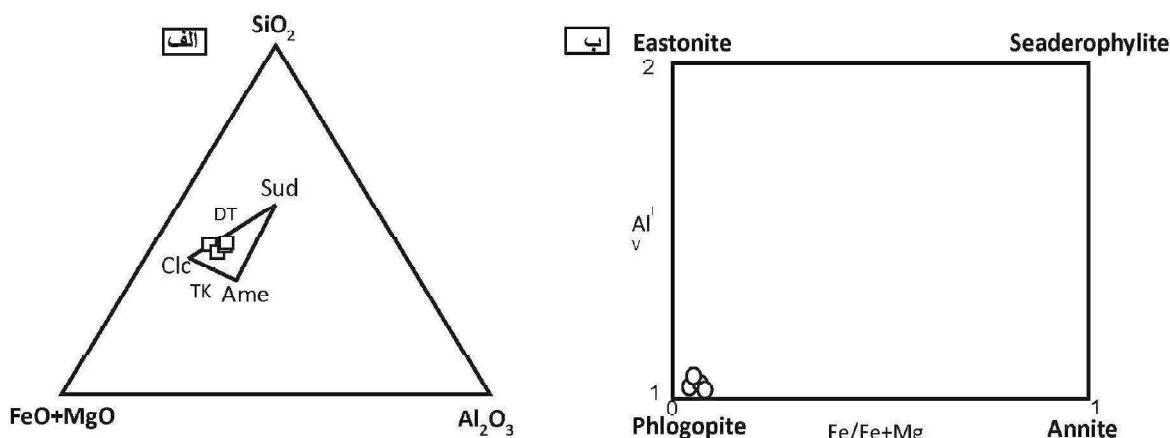
شکل ۵. نمودارهای جانشینی (الف) پیروکسن، (ب) آمفیبول. مربع توخالی نشانگر ترکیب شیمیایی آمفیبول ۱ می‌باشد.  
Diopside=CaMgSi<sub>2</sub>O<sub>6</sub>; Ca-Tschermaks=CaAlAlSiO<sub>6</sub>; Jadeite=NaAlSi<sub>2</sub>O<sub>6</sub>  
Tremolite=Ca<sub>2</sub>Mg<sub>5</sub>Si<sub>8</sub>O<sub>22</sub>(OH)<sub>2</sub>; Glaucophane=Na<sub>2</sub>Mg<sub>3</sub>Al<sub>2</sub>Si<sub>8</sub>O<sub>22</sub>(OH)<sub>2</sub>; Tschermakite=Ca<sub>2</sub>Mg<sub>3</sub>Al<sup>IV</sup><sub>2</sub>Al<sup>IV</sup><sub>2</sub>Si<sub>6</sub>O<sub>22</sub>(OH)<sub>2</sub>

جدول ۲. نتایج تجزیه میکروپریوب کانی‌های پیروکسن (P) و آمفیبول (Am) مرمرهای نی‌باغی. Early و Main به ترتیب مراحل اولیه و اصلی دگرگونی هستند. محاسبه و توزیع کاتیون‌ها بر اساس مقاله (Powell and Holland, 1999) انجام گرفته است

Point No.	P1	P2	P3	P4	Am1	Am2	Am3	Am4	Am5
Metamorphic Stages	Early	Early	Early	Early	Early	Early	Early	Main	Main
SiO <sub>2</sub>	54.81	55.32	56.12	54.97	51.13	51.36	51.14	58.31	58.01
TiO <sub>2</sub>	0.21	0.13	0.16	0.28	0.2	0.12	0.13	0.1	0.15
Al <sub>2</sub> O <sub>3</sub>	3.01	2.85	2.64	2.7	8.19	9.11	10.23	0.35	0.32
FeO	2.18	3.06	2.51	1.79	5.17	3.03	3.96	4.3	4.12
MgO	13.7	12.72	12.65	13.86	18.12	19.01	17.24	20.17	21.02
CaO	26.13	25.81	26.05	25.86	12.73	11.56	11.33	13.07	12.85
Na <sub>2</sub> O	1.02	0.98	1.12	0.94	1.31	1.21	1.08	0.16	0.18
Total	101.96	100.87	101.25	100.4	96.85	95.56	94.34	96.94	96.65
Atom Site	O=6				O=23				
Si	1.975	2	2.01	1.988	Si	7.202	7.201	7.26	8.03
Al <sub>T</sub>	0.025	-	-	0.012	Al <sub>T</sub>	0.798	0.799	0.74	-
Ti <sub>M2</sub>	0.006	0.004	0.004	0.008	Ti <sub>M2</sub>	0.021	0.013	0.014	0.01
Al <sub>M2</sub>	0.103	0.121	0.112	0.103	Al <sub>M2</sub>	0.562	0.707	0.972	0.057
Fe <sup>2+</sup> <sub>M2</sub>	0.066	0.093	0.075	0.054	Fe <sup>3+</sup> <sub>M2</sub>	-	0.168	-	0.49
Mg <sub>M2</sub>	0.736	0.685	0.677	0.747	Fe <sup>2+</sup> <sub>M13</sub>	0.609	0.188	0.47	-
Ca <sub>M1</sub>	1.009	1	1.002	1.002	Mg <sub>M2</sub>	1.417	1.112	1.014	1.448
Na <sub>M1</sub>	0.071	0.069	0.078	0.066	MgM <sub>13</sub>	2.387	2.86	2.634	2.692
Total	3.991	3.971	3.964	3.98	Ca <sub>M4</sub>	1.921	1.737	1.723	1.93
					Na <sub>M4</sub>	0.079	0.263	0.085	0.043
					Na <sub>A</sub>	0.279	0.066	-	-
					Total	15.276	15.114	14.913	14.71
									14.92

کمی صورت گرفته است (شکل ۶-الف) (جدول ۳). فلوگوپیت که همراه با آمفیبول ۲ و کلریت دیده می‌شود، عموماً از عضو نهایی فلوگوپیت تشکیل شده و به مقدار کم به دلیل جانشینی  $\text{Fe}^{2+}=\text{Mg}$  به سمت عضو نهایی آنیت و از طریق جانشینی چرماتیتی ( $\text{SiMg}=\text{Al}^{\text{IV}}\text{Al}^{\text{VI}}$ ) به طرف عضو نهایی ایستونیت تغییر یافته‌اند (شکل ۶-ب و جدول ۳).

کلریتها غنی از منیزیم می‌باشند و عمدتاً از عضو نهایی کلینوکلر تشکیل شده‌اند ولی انحراف از این ترکیب آرمانی از طریق جانشینی  $\text{Fe}^{2+}=\text{Mg}$  به سمت دافنیت و از طریق جانشینی دی-تری‌اکتائدری ( $\text{Al}^{\text{VI}}\text{Al}^{\text{VI}}\text{Al}^{\text{VI}}=3\text{Mg}^{\text{VI}}$ ) به سمت عضو نهایی سودوئیت می‌باشد. تغییر ترکیب به سمت آمسیت از طریق جانشینی چرماتیتی ( $\text{SiMg}=\text{Al}^{\text{IV}}\text{Al}^{\text{VI}}$ ) به مقدار



شکل ۶. نمودارهای جانشینی شیمیایی (الف) کلریت، ب) فلوگوپیت

( $\text{Clc}=\text{Clinochlore}=\text{Mg}_5\text{Al}_2\text{Si}_3\text{O}_{10}(\text{OH})_8$ ;  $\text{Ame}=\text{Amesite}=(\text{Mg},\text{Fe})_4\text{Al}_4\text{Si}_2\text{O}_{10}(\text{OH})_8$ ;  $\text{Sud}=\text{Sudoite}=(\text{Mg},\text{Fe})_2\text{Al}_4\text{Si}_3\text{O}_{10}(\text{OH})_8$ ;  $\text{Phlogopite}=\text{KMg}_3\text{Si}_3\text{AlO}_{10}(\text{OH})_2$ ;  $\text{Annite}=\text{KFe}_3\text{Si}_3\text{AlO}_{10}(\text{OH})_2$ ;  $\text{Eastonite}=\text{KMg}_2\text{AlSi}_2\text{Al}_2\text{O}_{10}(\text{OH})_2$ ;  $\text{Seaderophylite}=\text{KFe}_2\text{AlSi}_2\text{Al}_2\text{O}_{10}(\text{OH})_2$ ;  $\text{TK}=\text{Tschermark substitution}$ ;  $\text{DT}=\text{Di-trioctahedral substitution}$ )

جدول ۳. نتایج تجزیه میکروپروب کانی‌های فلوگوپیت (Phl) و کلریت (Chl) مرمرهای نی‌باغی. Main نشانگر مرحله اصلی دگرگونی است. محاسبه و توزیع کاتیون‌ها بر اساس مقاله (Holland et al., 1998) انجام گرفت

Point No.	Phl1	Phl2	Phl3	Phl4	Chl1	Chl2	Chl3	Chl4
Metamorphic Stages	Main	Main	Main	Main	Main	Main	Main	Main
$\text{SiO}_2$	41.61	42.31	42.53	41.87	31.85	33.41	32.76	33.54
$\text{TiO}_2$	0.11	0.12	0.21	0.1	0.21	0.31	0.12	0.13
$\text{Al}_2\text{O}_3$	17.06	17.85	17.37	17.51	17.12	18.01	17.64	18.61
FeO	2.39	2.65	3.5	3.65	8.12	8.04	7.51	7.86
MgO	23.1	22.31	21.81	21.42	28.15	27.09	26.81	25.73
$\text{K}_2\text{O}$	9.12	9.01	8.93	9	-	-	-	-
Total	93.44	94.56	94.36	93.56	85.48	86.89	84.87	85.9
Atom Site	O=11				O=14			
Si	2.935	2.952	2.976	2.96	Si	3.117	3.198	3.203
$\text{Al}_T$	1.065	1.048	1.024	1.04	$\text{Al}_T$	0.883	0.802	0.797
$\text{Ti}_{M2}$	0.006	0.006	0.011	0.005	$\text{Ti}_{M4}$	0.021	0.022	0.009
$\text{Al}_{M2}$	0.354	0.42	0.409	0.42	$\text{Al}_{M4}$	0.979	0.978	0.991
$\text{Fe}^{3+}_{M2}$	0.021	0.019	-	-	$\text{Al}_{M1}$	0.113	0.252	0.242
$\text{Fe}^{2+}_{M2}$	0.12	0.186	0.205	0.216	$\text{Fe}^{2+}_{M1}$	0.664	0.644	0.614
$\text{Mg}_{M2}$	1.505	1.375	1.375	1.359	$\text{Mg}_{M23}$	4.109	3.868	3.911
Total	7.75	7.696	7.696	7.711	Total	9.881	9.764	9.771
								9.697

دارای مقدار  $\text{Fe}^{2+}$  و  $\text{Mn}$  بیشتر از مرکز آن است. همچنین مقادیر  $\text{Mg}$  و  $\text{Ca}$  در حاشیه کلسیت بیشتر از مرکز آن است. کلسیت‌های واقع شده در مرکز پلاژیوکلازها، دارای ترکیب شیمیابی مشابه با مرکز کلسیت‌های خارج از پلاژیوکلاز می‌باشد. دولومیت‌ها همگن می‌باشند و عموماً از عضونهای  $\text{Fe}^{2+}=\text{Mg}$  دولومیت تشکیل شده‌اند که از طریق جانشینی  $\text{Fe}^{2+}$  به مقدار کمی به سمت عضونهایی انکریت تغییر یافته‌اند (جدول ۵).

اپیدوت هم که به عنوان کانی مرحله اولیه دگرگونی در نظر گرفته می‌شود، دارای ترکیب شیمیابی نزدیک به عضو نهایی کلینوزوئیت است که به مقدار کمی با جانشینی  $(\text{Al}^{3+}=\text{Fe}^{3+})$  به سمت عضونهایی پیسیتاسیت تمايل دارد. بلاست‌های پلاژیوکلاز دارای منطقه‌بندی شیمیابی هستند که در این حالت مرکز آن‌ها دارای  $\text{Na}$  بیشتر و  $\text{Ca}$  کمتر از حاشیه می‌باشند (جدول ۴).

نتایج تجزیه شیمیابی کلسیت نشان می‌دهد که در حاشیه

جدول ۴. نتایج تجزیه میکروپروب کانی‌های اپیدوت (Ep) و پلاژیوکلاز (Pl) مرمرهای نی‌باغی. Early و Main به ترتیب نشانگر مراحل اولیه و اصلی دگرگونی هستند. محاسبه و توزیع کاتیون‌ها بر اساس مقاله (Powell et al., 1998) انجام گرفت

Point No.	Ep1	Ep2	Ep3	Pl1	Pl2	Pl3	Pl4
Metamorphic stage	Early	Early	Early	Early	Early	Main	Main
$\text{SiO}_2$	42.56	43.12	41.58	64.13	64.82	65.71	65.12
$\text{TiO}_2$	0.31	0.12	0.24	-	-	-	-
$\text{Al}_2\text{O}_3$	30.12	30.91	30.01	21.33	21.45	20.76	20.64
FeO	0.03	0.05	0.04	-	-	-	-
CaO	22.01	21.11	22.86	10.13	9.85	12.42	12.55
$\text{Na}_2\text{O}$	-	-	-	3.14	4.01	1.85	1.77
Total	95.06	95.34	94.75	98.73	100.14	100.74	100.08
Atom site	O=12.5			O=8			
Si	3.274	3.291	3.225	2.852	2.849	2.869	2.864
Ti	0.018	0.007	0.014	-	-	-	-
Al	2.732	2.781	2.744	1.118	1.111	1.069	1.07
$\text{Fe}^{3+}$	0.002	0.003	0.003	-	-	-	-
Ca	1.816	1.728	1.902	0.483	0.464	0.581	0.591
Na	-	-	-	0.271	0.342	0.157	0.151
Total	7.841	7.81	7.888	4.724	4.766	4.675	4.677

جدول ۵. نتایج تجزیه میکروپروب کانی‌های کلسیت (Cal) و دولومیت (Dol) مرمرهای نی‌باغی. Early و Main به ترتیب مراحل اولیه و اصلی دگرگونی هستند. محاسبه و توزیع کاتیون‌ها بر اساس (Powell et al., 1998) انجام گرفته است

Point No.	Cal1	Cal2	Cal3	Cal4	Dol1	Dol2
Metamorphic stage	Early	Early	Main	Main	Early	Main
FeO	0.1	0.12	0.23	0.22	0.43	0.28
$\text{MnO}$	0.08	0.11	0.31	0.24	0.1	0.1
$\text{MgO}$	0.87	0.76	0.92	1.21	21.51	21.66
CaO	52	51.6	54.3	53.81	30.17	29.96
$\text{CO}_2$	42.05	43.01	42.31	42.6	45.34	44.76
Total	95.15	97.65	98.11	98.13	97.58	96.79
$\text{Fe}^{2+}$	0.003	0.004	0.006	0.006	0.011	0.007
$\text{Mn}^{2+}$	0.002	0.003	0.009	0.007	0.003	0.003
Mg	0.045	0.04	0.046	0.06	0.988	0.977
Ca	1.949	1.953	1.939	1.927	0.988	0.993
Total	2	2	2	2	2	2

## بحث

جهت تعیین شرایط فشار-دمای تشکیل مرمرها در مراحل اولیه و اصلی دگرگونی از شواهد فابریکی و کانیابی استفاده شد. شواهد فابریکی و کانیابی نشان دادند که مرمرهای مجموعه‌ی دگرگونی نی‌باغی دو مرحله دگرگونی را متحمل شده‌اند. مرحله اولیه با حضور کانی‌های تبدیل شده مانند پیروکسن و اپیدوت و همچنین ادخال‌های کلسیت و آمفیبول در مرکز بلاست‌های پلاژیوکلاز مشخص می‌شود، درحالی که مرحله اصلی با تشکیل کانی‌های تشکیل دهنده شیستوزیتیه مانند فلوگوپیت، کلریت و آمفیبول ۲ مشخص می‌شود.

جهت تعیین پایداری  $P-T-X_{CO_2}$  مجموعه کانیابی همزیست در مراحل اولیه و اصلی دگرگونی از نرم‌افزار Powell et al., (۱۹۹۸) استفاده شد (Powell and Holland, 1988). کاربرد این نرم‌افزار با پیش‌فرضهای آن در مورد تعیین فعالیت فازهای جامد و فوگاسیته سیالات دگرگونی نشان می‌دهد که مرحله اولیه دگرگونی در شرایط گستردگی از ۰.۹۸ تا  $X_{CO_2}=0.02$  و دماهی از ۵۰۰ تا ۷۵۰ درجه سانتی‌گراد و شرایط محدودتر فشاری از ۱۰ تا ۱۲ کیلوبار پایدار است. استفاده از همین شیوه برای مرحله اصلی دگرگونی نیز نشان می‌دهد که این مرحله نیز در شرایط  $X_{CO_2}$  از ۰/۰ تا ۰/۳، دماهی بین ۵۰۰-۵۸۰ درجه سانتی‌گراد و فشار بین ۳/۵-۷ کیلوبار پایدار می‌باشد.

علت اصلی گستردگی متغیرهای ترمودینامیکی حاصل شده از نتایج محاسبات این است که شرایط فشار-دمای تشکیل مرمرها بهشت وابسته به مقدار فوگاسیته سیالات دگرگونی به‌ویژه  $CO_2$  می‌باشد که چگونه مدل‌سازی می‌شود. البته چگونگی در نظر گرفتن فعالیت غیرآرمانی سازنده‌های فازهای جامد نیز هرچند با شدت کمتر در این گستردگی دخالت دارد.

(Powell and Holland, 1985) پاول و هلند (Holland and Powell, 1990) برای محاسبه فوگاسیته و فعالیت سیالات دگرگونی در نرم‌افزار ترمودینامیکی از رابطه  $f_i = a + BT + CT$  استفاده کردند. این پژوهشگران معتقدند که محاسبه فوگاسیته برای سیالات سیستم  $C-O-H$

با استفاده از رابطه  $f_i = RT \ln \frac{P}{P^0} - \frac{RT}{P^0} \sum_j x_j a_{ij}$  نتایج خوبی به دست می‌دهد. این شیوه در مورد سیستم‌های پلیتی و بازیک ممکن است نتایج خوبی داشته باشد اما در مورد مرمرها که نقش سیالات دگرگونی بسیار تاثیرگذارتر است، همچنان که مشاهده شد نتایج خوبی به دست نمی‌دهد. بنابراین لازم است در داده‌های ورودی به نرم‌افزار برای محاسبه فوگاسیته و فعالیت اجزا سازنده سیال دگرگونی حاوی  $H_2O-CO_2$  از مدل‌سازی دیگری استفاده کرد. در اینجا برای محاسبه فوگاسیته سازنده‌های سیال دگرگونی از معادله ردلیک-کوانگ استفاده شد (Kerrick and Jacobs, 1981).

$$\begin{aligned} Lnf_i(V, T) &= \ln \left[ \frac{V_{mix}}{V_{mix} - b_{mix}} \right] + \left[ b_i \left( \frac{V_{mix}}{V_{mix} - b_{mix}} \right)^2 x_i a_i + 2 \right. \\ &\quad \left. \sum_{j \neq i} [x_j a_{ij} / (b_{mix} RT^{1.5})] \right] \ln \left[ \left( \frac{V_{mix}}{V_{mix} + b_{mix}} \right)^2 \right] + [a_{mix} b_i] / (b_{mix})^2 RT^{1.5} \end{aligned}$$

$$\ln \left[ \left( \frac{V_{mix}}{V_{mix} + b_{mix}} \right)^2 \right] = \ln \left( \frac{V_{mix}}{V_{mix} + b_{mix}} \right) - \ln \left( \frac{V_{mix}}{V_{mix} + b_{mix}} \right)^2 + \ln (X_i)$$

که در این رابطه  $\bar{V}_{mix}$  (حجم مولی اختلاط) در هر فشار و دما بی از رابطه زیر محاسبه می‌شود:

$$P = (RT / (\bar{V}_{mix} - b_{mix})) - [a_{mix} / (T^{0.5} (\bar{V}_{mix} + b_{mix}))]$$

در معادله ردلیک-کوانگ، ضریب  $b$  نشانگر نیروی دافعه است که از جانب مولکول‌های تشکیل دهنده اختلاط سیال اعمال می‌شود که در این مطالعه عبارتند از:  $b_{H_2O}, b_{CO_2}$  مقدار  $b_{mix}$  از طریق معادله  $b_{mix} = \sum_{i=1}^n x_i b_i$  حاصل می‌شود که در این رابطه  $b_i$  و  $x_i$  عبارت‌اند از مقدار  $b$  و کسرمولی سازنده و  $b_{mix}$  عبارت است از ضریب  $b$  برای اختلاط سازنده‌های سیال که در این مطالعه  $b_{mix}$  عبارت است از:

$$b_{mix} = X_{H_2O} b_{H_2O} + X_{CO_2} b_{CO_2}$$

در معادله ردلیک-کوانگ،  $a$  نشانگر نیروهای جاذبه است و به صورت نوشته می‌شود.

$$a(T) = a^\circ + a_1(T)$$

در این معادله  $a^\circ$  ثابت وابستگی اجزای سازنده و  $a_1(T)$  وابستگی دماهی  $T$  می‌باشد.  $a_{ij}$  نشانگر تاثیر دو مولکول غیرمشابه در یک اختلاط سیال است و به صورت زیر نوشته می‌شود:  $a_{ij} = \sqrt{a_i^\circ a_j^\circ}$  که در این رابطه  $a_i^\circ$  و  $a_j^\circ$  وابستگی حرارتی اختلاط  $A$  و زمی‌باشد و در این مطالعه عبارتند از:

$$a_{H_2O-CO_2} = \sqrt{a_{H_2O}^\circ a_{CO_2}^\circ} + 1/2 R^2 T^5 / 2K$$

سودوئیت (Sud) با انرژی‌های برهم‌کنش ( $\text{KJmol}^{-1}$ ) زیر در نظر گرفته شدند (Holland et al., 1998)

$$W_{\text{Sud-Clc}} = 18, W_{\text{Sud-Dph}} = 14, W_{\text{Sud-Ame}} = 20, W_{\text{Clc-Dph}} = 2.5, W_{\text{Clc-Ame}} = 18, W_{\text{Dph-Ame}} = 20.5$$

فعالیت غیرآرمانی و غیرمتقارن برای اعضا نهایی فلوگوپیت (Phl)، آنیت (Ann) و ایستونیت (Eas) با انرژی‌های برهم‌کنش ( $\text{KJmol}^{-1}$ ) زیر در نظر گرفته شدند (Powell and Holland, 1999)

$$W_{\text{Phl-Ann}} = 9, W_{\text{Phl-Eas}} = 10, W_{\text{Ann-Eas}} = -1,$$

کلسیت (Cal)، مگنزیت (Mgs) و سیدریت (Sd) با انرژی‌های برهم‌کنش ( $\text{KJmol}^{-1}$ ) زیر برای تعیین فعالیت غیرآرمانی و غیرمتقارن فاز کلسیت منظور شد (Holland and Powell, 1998)

$$W_{\text{Cal-Mgs}} = 22, W_{\text{Cal-Sd}} = 18, W_{\text{Mgs-Sd}} = 4$$

عضو نهایی دولومیت (Dol) و انکریت (Ank) با انرژی برهم‌کنش ( $3 \text{ KJmol}^{-1}$ ) برای فعالیت غیرآرمانی دولومیت در نظر گرفته شدند (Holland and Powell, 1998).

برای تعیین فعالیت غیرآرمانی و غیرمتقارن پلاژیوکلاز از انرژی برهم‌کنش  $3 \text{ KJmol}^{-1}$  بین دو عضو نهایی آلبیت (Ab) و انورتیت (An) استفاده شد (Holland and Powell, 2003). برای اپیدوت سه عضو نهایی اپیدوت (Ep)، کلینوزوئزیت (Czo) و فروآپیدوت (Fep) جهت تعیین اکتیویته غیرآرمانی و غیرمتقارن با انرژی‌های برهم‌کنش ( $\text{KJmol}^{-1}$ ) به شرح زیر مورد استفاده قرار گرفت (Keskinen, 1987):

$$W_{\text{Cz-Ep}} = 0, W_{\text{Cz-Fep}} = 15.4, W_{\text{Ep-Fep}} = 3$$

با در نظر گرفتن نتایج نتایج حاصل شده از تعیین فوگاسیته  $\text{CO}_2$  در سیال دگرگونی و همچنین فعالیت غیرآرمانی و غیرمتقارن فازهای جامد و نوشتن آنها مطابق منطق Powell et al., (1998; Powell and Holland, 1988) برآنمودنیسی نرمافزار ترمومولکولیک (3/21) مجدداً محاسبات فشار-دما و  $X_{\text{CO}_2}$  برای مرحله اولیه و اصلی دگرگونی انجام گرفت و نشان داد که مرحله اولیه دگرگونی در شرایط نهایی کلینوکلر (Clc)، دافنیت (Dph)، آمسیت (Ame) و

ثابت تعادل برای اختلاطی از  $\text{H}_2\text{O}-\text{CO}_2$  از رابطه زیر محاسبه می‌شود:

$$\ln K = 11.7 + (5953/T) - ((2746 \times 10^3)T^2) + (464.6 \times 10^6/T^3)$$

و در نهایت  $a_{\text{mix}}$  نیز از رابطه زیر حاصل می‌شود:

$$a_{\text{mix}} = \sum_{i=1}^n \sum_{j=1}^n X_j X_i a_{ij}$$

برای اختلاط  $\text{H}_2\text{O}-\text{CO}_2$  مقدار  $a_{\text{mix}}$  به شرح زیر به دست می‌آید:

$$a_{\text{mix}} = (X_{\text{H}_2\text{O}})^2 a_{\text{H}_2\text{O}} + (X_{\text{CO}_2})^2 a_{\text{CO}_2} + 2X_{\text{H}_2\text{O}} X_{\text{CO}_2} a_{(\text{H}_2\text{O})(\text{CO}_2)}$$

مقادیر  $a_0$  و  $b$  برای محاسبه فوگاسیته  $\text{CO}_2$  و  $\text{H}_2\text{O}$  در سیال از نتایج تحقیقات (Shumiovich and Shmonov, 1975) برای  $\text{CO}_2$  و (Burnham et al., 1969) برای  $\text{H}_2\text{O}$  استفاده شد.

برای دقیق‌تر شدن محاسبه  $P-T-X_{\text{CO}_2}$ ، فعالیت‌های غیرآرمانی و غیرمتقارن فازهای جامد به شرح زیر وارد نرمافزار شد.

برای کلینوپیروکسن، فعالیت غیرآرمانی و غیرمتقارن برای مجموعه‌ای از اعضای نهایی دیوپسید (Di)، Ca-چرمک (Cats)، ژادئیت (Jd) و هدنبریزیت (Hd) با انرژی‌های برهم‌کنش ( $\text{KJmol}^{-1}$ ) به شرح زیر در نظر گرفته شد (Holland and Powell, 1998):

$$W_{\text{Di-Hd}} = 3, W_{\text{Di-Cats}} = 7, W_{\text{Di-Jd}} = 24, W_{\text{Hd-Cats}} = 4, W_{\text{Hd-Jd}} = 24, W_{\text{Cats-Jd}} = 20$$

برای آمفیبول فعالیت غیرآرمانی و غیرمتقارن برای مجموعه‌ای از اعضای نهایی ترمولیت (Tr)، فروکتینولیت (Fac)، چرمکیت (Ts)، گلوکوفان (Gln) و پارگاسیت (Pg) با انرژی‌های برهم‌کنش ( $\text{KJmol}^{-1}$ ) به شرح زیر در نظر گرفته شد (Dale et al., 2000):

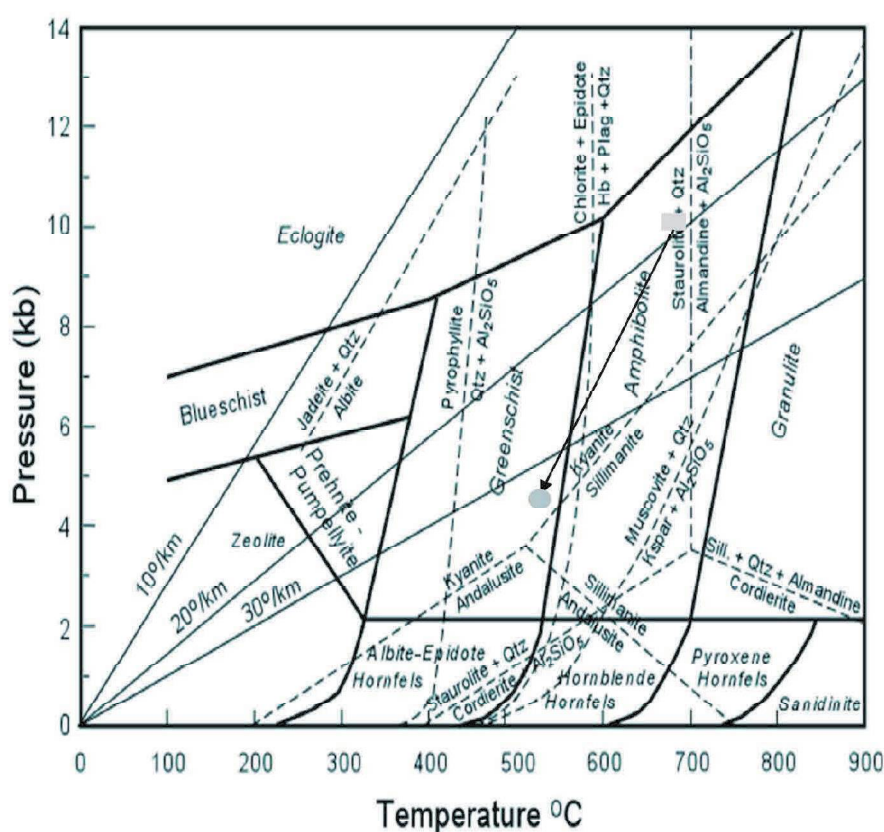
$$W_{\text{Pgl-Gln}} = 50, W_{\text{Pgl-Ts}} = -38, W_{\text{Pgl-Fac}} = -1.9, W_{\text{Pgl-Tr}} = 33, W_{\text{Gln-Ts}} = -25, W_{\text{Gln-Fac}} = 39,$$

$W_{\text{Gln-Tr}} = 65, W_{\text{Tr-Fac}} = 11.4, W_{\text{Tr-Ts}} = 20.8, W_{\text{Fac-Ts}} = 15$  فعالیت غیرآرمانی و غیرمتقارن کلریت برای اعضای نهایی کلینوکلر (Clc)، دافنیت (Dph)، آمسیت (Ame) و

توسط دگرگونی مرحله اصلی با کاهش فشاری در حدود ۵ کیلوبار همراه با کاهش دمایی معادل ۱۵۰ درجه سانتی‌گراد ادامه می‌یابد (شکل ۷). مسیر فشار-دمای به دست آمده در جهت عقربه ساعت نشان‌دهنده یک فشار متوسط اولیه از نوع دگرگونی باروین (رخساره آمفیبولیت) است که توسط یک دگرگونی فشار پایین از نوع دگرگونی بوچان (رخساره شیست‌سیز) دنبال می‌شود. الگوی فشار-دمای به دست آمده نشان‌گرتکامل دگرگونی مرمرهای در یک محیط تکتونیکی برخورده می‌باشد (شکل ۷).

دگرگونی در شرایط ( $P=4.2\text{Kbar}$ ,  $T=510^\circ\text{C}$ ,  $X_{\text{CO}_2}=0.4$ ) پایدار می‌باشد (شکل ۷).

با در نظر گرفتن اینکه حداکثر فشار ۹/۵ کیلوباری ثبت شده توسط مرمر منحصرًا مربوط به فشار لیتواستاتیک باشد، می‌توان تخمین زد که مرمرهای مجموعه دگرگونی نی‌باغی به عمقی معادل ۳۶ کیلومتر رسیده است. با توجه به دمای ۶۶۰ درجه سانتی‌گراد برای این مرحله نشان‌گر یک شیب زمین‌گرمایی متوسط در حدود ۲۰ درجه سانتی‌گراد بر کیلومتر می‌باشد. این همگرایی و ضخیم سازی پوسته‌ای



شکل ۷. فشار - دمای محاسبه شده برای مرحله اولیه (مستطیل پرشده) و مرحله اصلی (دایره پرشده) مرمرهای نی‌باغی. بردار نشان‌گر مسیر تحول فشار - دمای مرمرهای نی‌باغی می‌باشد. نقطه سه گانه از Andalusite, Kyanite, Sillimanite از Holland, 1980 ، و اکنش های Albite=Jadeite+Qtz ، Bohlen et al., 1991 Pattison, از Muscovite + Qtz = Kspar +  $\text{Al}_2\text{SiO}_5$  Pyrophyllite = Qtz +  $\text{Al}_2\text{SiO}_5$  ، و اکنش های 2001 ، و اکنش های Staurolite+Qtz=Almandine+ $\text{Al}_2\text{SiO}_5$  و Staurolite+Qtz=Cordierite+ $\text{Al}_2\text{SiO}_5$  از Chlorite+Epidote=Hb+Plag+Qtz و Aranovich and Podelsskii, 1983 Qtz=Quartz, Sill=Sillimanite، Plyusnina, 1982 اقتباس شده اند. Plag=Plagioclase, Kspar=Kfeldspar, Hb=Hornblende

دگرگونی بوکان (رخساره شیست سبز) دنبال می‌شود. این الگو نشانگر تکامل دگرگونی مرمرها در یک محیط تکتونیکی برخورده می‌باشد.

### سپاسگزاری

این مقاله بخشی از پایان‌نامه کارشناسی ارشد معصومه شهرآی است که هزینه‌های آن توسط دانشگاه زنجان انجام پذیرفت که به این وسیله از این حمایت قدردانی می‌شود.

### منابع

- بهروزی، ا.، امینی آذر، ر.، عزتیان، ف.، امامی، م.، داوری، م. و هادوی، م. ۱۳۷۱. نقشه زمین‌شناسی مقیاس ۱/۱۰۰۰۰ سراب. سازمان زمین‌شناسی و اکتشافاتمعدنی کشور
- شهرابی، م.، ۱۳۹۳. مطالعه پتروگرافی و ترمودینامیکی مرمرهای مجموعه دگرگونی نی باعی واقع در شمال شرق میانه. پایان‌نامه کارشناسی ارشد دانشگاه زنجان، ۱۱۵
- موذن، م.، پورحاتمی، گ.، حاجی علی اوغلی، ر. و عمرانی، م.، ۱۳۹۲. بررسی ماهیت مagmaی و محیط تکتونیکی تشکیل پروتولیت‌های منطقه سیاه منصور میانه، شمال غرب ایران. مجله زمین‌شناسی کاربردی پیشرفته، ۲۰-۱۱، ۸
- Amidi, M., 1967. Geological quadrangle map of Myaneh, scale 1/250000, Geological Survey of Iran
- Aranovich, L.Y. and Podelesski, K.K., 1983. The cordierite-garnet-sillimanite-quartz equilibrium: Experiments and applications. In: Saxena SK(ed) Kinetics and Equilibrium in Mineral Reactions: Springer, New York, 173-198
- Baker, J. and Mattheous, A. 1994. Textural and isotopic development of marble assemblage during the Barrovian-style M2 metamorphic event, Naxos Greece. Contributions to Mineralogy and Petrology, 116, 130-144
- Bohlen, S.R., Montana, A.L. and Kerrick, D.M., 1991. Precise determinations of the equilibria kyanite=sillimanite and kyanite=andalusite

### نتیجه‌گیری

مجموعه دگرگونی نی باعی واقع در شمال شرقی میانه از واحدهای سنگ‌شناسی اسلیتی، فیلتی، میکاشیستی و مرمر تشکیل شده که دارای شیستوزیته غالب شمال شرقی-جنوب غربی می‌باشدند. اندازه‌گیری‌های ساختاری انجام شده بر روی واحدهای مختلف سنگی نشان می‌دهد که ساختار اصلی منطقه نی باعی یک چین تاک شکل نامتقارن با یال جنوب شرقی پوشید و فشرده و یال شمال غربی کم شیب ترمی باشد. مرمرهای ناخالص در بخش مرکزی این مجموعه دارای گسترش زیادی می‌باشند و به سه صورت نازک لایه، ضخیم لایه و توهدای رخنمون دارند. شواهد و ارتباطات فابریکی و کانیابی موجود در مرمرهای ناخالص نشان دهنده دو مرحله دگرگونی ثبت شده می‌باشد. در مرحله اولیه، کانی‌های پیروکسن، اپیدوت، پلازیوکلاز ۱ و آمفیبول ۱ به همراه کلسیت و دولومیت تشکیل شده‌اند در حالی که در مرحله دوم که مرحله اصلی دگرگونی است کانی‌های کلریت، آمفیبول ۲، فلوگوپیت و پلازیوکلاز ۲ به همراه کلسیت و دولومیت وجود دارند. جهت تعیین شرایط پایداری  $P-T-X_{CO_2}$  مجموعه کانیابی هم‌زیست در مراحل اولیه و اصلی دگرگونی فوگاسیت  $CO_2$  و  $H_2O$  از معادله ردیگ کوانگ و فعالیت‌های غیر آرمانی و غیرمتقارن فازهای جامد از منابع مختلف، در هر یک از مراحل دگرگونی محاسبه شده و مطابق با منطق برنامه‌نویسی نرم‌افزار ترموموکالک به آن وارد شد. نتایج محاسبات نشان داد که مرحله اولیه دگرگونی در شرایط  $(P=9.5\text{Kbar}, T=660^\circ\text{C}, X_{CO_2}=0.35)$  و مرحله اصلی  $(P=4.2\text{Kbar}, T=510^\circ\text{C}, X_{CO_2}=0.4)$  دگرگونی در شرایط پایدار می‌باشند. با توجه به فشار و دمای حاصل شده برای هر یک از مراحل دگرگونی می‌توان حدس زد که مرمرهای مجموعه دگرگونی نی باعی به عمقی معادل ۳۶ کیلومتری رسیده‌اند. این هم‌گرانی و ضخیم سازی پوسته‌ای توسط دگرگونی مرحله اصلی با کاهش فشاری در حدود ۵ کیلو بار همراه با کاهش دمایی معادل ۱۵۰ درجه سانتی گراد ادامه می‌یابد. مسیر فشار-دمای به دست آمده، نشان دهنده یک فشار متوسط اولیه از نوع دگرگونی باروبین (رخساره آمفیبولیت) است که توسط یک دگرگونی فشار پایین از نوع

- and a revised triple point for  $\text{Al}_2\text{SiO}_5$  polymorphs American Mineralogist, 76, 677-680
- Burnham, C.W., Holloway, J.R. and Davis, N.F., 1969. Thermodynamic properties of water to 1000°C and 10000 bars. Geological Society of America, Special Paper, 132-96
  - Dale, J., Holland, T.J.B. and Powell R., 2000. Hornblende-garnet-plagioclase thermobarometry: a natural assemblage calibrations of the thermobarometry of hornblende. Contribution to Mineralogy and Petrology, 40, 353-362.
  - Franz, G. and Spear, F.S., 1983. High-pressure metamorphism in siliceous dolomites from the central Tauern window. Austria. American Journal of Science, 283, 396-413.
  - Ferry, J.M., 1983. Mineral reactions and element migration during metamorphism of calcareous sediments from the Vassalboro Formation, south-central Maine. American Mineralogist, 68, 334-54.
  - Holland, T.J.B., 1980. The reaction albite = jadeite+quartz determined experimentally in the range 600-1200°C. American Mineralogist. 65, 129-134.
  - Holland T.J.B. and Powell, R., 1990. An internally consistent thermodynamic data set with uncertainties and correlations: the system  $\text{Na}_2\text{O}-\text{K}_2\text{O}-\text{CaO}-\text{MgO}-\text{MnO}-\text{FeO}-\text{Fe}_2\text{O}_3-\text{Al}_2\text{O}_3-\text{SiO}_2-\text{TiO}_2-\text{C}-\text{H}-\text{O}_2$ . Journal of Metamorphic Geology, 8, 89-124.
  - Holland, T.J.B. and Powell, R., 1998. An internally consistent thermodynamic data set for phases of petrological interest. Journal of Metamorphic Geology, 16, 309-343.
  - Holland, T.J.B. and Powell, R., 2003. Activity-composition relations for phases in petrological calculations: an asymmetric multicomponent formulation. Contributions to Mineralogy and Petrology, 145, 492-501.
  - Holland, T.J.B., Baker, J. and Powell, R., 1998. Mixing properties and activity-composition relationships of chlorites in the system  $\text{MgO}-\text{Al}_2\text{O}_3-\text{SiO}_2-\text{H}_2\text{O}$ . European Journal of Mineralogy, 10, 395-406.
  - Keskinen, M. and Liou, J.G., 1987. Stability relations of Mn-Fe-Al piemontite. Journal of Metamorphic Geology, 5, 495-507.
  - Kerrick, D.M. and Jacobs, G.K., 1981. A modified Redlich-Kwong equation for  $\text{H}_2\text{O}$ ,  $\text{CO}_2$  and  $\text{H}_2\text{O}-\text{CO}_2$  mixtures at elevated pressures and temperatures. American Journal of Science, 281, 735-767.
  - Leake, B.E., Woolley, A.R., Arps, C.E.S., Birch, W.D., Gilbert, M.C., Grice, J.D., Hawthorne, F.C., Kato, A., Kisch, H.J., Krivovichev, V.G., Linthout, K., Laird, J., Mandarino, J.M., Maresch, W.V., Nickel, E.H., Rock, N.M.S., Schmacher, J.C., Smith, D.C., Stepehnson, N.C.N., Ungaretti, L., Whittaker, E.J.W. and Youzhi, G., 1997. Nomenclature of amphiboles: Report of the subcommittee on Amphiboles of the International Mineralogical Association on New Minerals and Mineral Names. American Mineralogist, 82, 1019-1037.
  - Moazzen, M., Ghaderi, M., Downey, W.S. and Omrani, H., 2016. Geochemistry of metapelitic rocks from the Garmichay Area, East Azerbaijan, NW Iran, protolith nature and whole rock control on metamorphic mineral assemblage. Journal of Geopersia, 6, 1-18.
  - Pattison, D.R.M., 2001. Instability of  $\text{Al}_2\text{SiO}_5$  triple point assemblage in muscovite+quartz bearing metapelites, with implications. American Mineralogist, 86, 1414-1422.
  - Plyusnina, L.P., 1982. Geothermometry and geobarometry of plagioclase-hornblende-bearing assemblage. Contribution to Mineralogy and Petrology, 80, 140-146.

- Powell, R. and Holland T.J.B., 1988. An internally consistent dataset with uncertainties and correlations: 3. Applications to geobarometry, worked examples and a computer program. *Journal of Metamorphic Geology*, 6, 173–204.
- Powell, R., Holland, T.J.B. and Worley B., 1998. Calculating phase diagrams with THERMOCALC: methods and examples. *Journal of Metamorphic Geology*, 6, 173–204.
- Powell, R. and Holland, T.J.B., 1985. An internally consistent thermodynamic dataset with uncertainties and correlations: 1, Methods and worked example. *Journal of Metamorphic Geology*, 3, 327–342.
- Powell, R. and Holland, T.J.B., 1999. Relating formulations of the thermodynamics of mineral solid solutions: activity modelling of pyroxenes, amphiboles and micas. *American Mineralogist*, 84, 1–14.
- Seaton, N., Whitney, D.L., Teyssier, C. and Heizler, M., 2009. Recrystallization of high-pressure marble (Sivrihisar Turkey). *Tectono-*  
physics, 479, 241–253.
- Shmulovich, K.I. and Shmonov, V.M., 1975. Fugacity coefficient for CO<sub>2</sub> from 1.0132 to 10000 bar and 450–1300°K. *Geochemistry International*, 12, 202–205.
- Skippen, G.B. and Trommsdorf, V., 1986. The influence of NaCl and KCl on phase relations in metamorphosed carbonate rocks. *American Journal of Science*, 286, 81–104.
- Trommsdorf, V., 1972. Change in T-X during metamorphism of siliceous dolomitic rocks of the central Alps. *Schweizerische Mineralogische und Petrographische Mitteilungen*, 52, 567–71.
- Ye, K. and Hirajima, T., 1996. High-pressure marble at Yangquantun, Rongcheng county, Shandong province, eastern China. *Mineralogy and Petrology*, 5, 151–165.
- Whitney, D.L. and Evans, B.W., 2010. Abbreviations for names of rock-forming minerals. *American Mineralogist*, 95, 185–187.